# Спектр позитронов при взаимодействии внегалактических гамма-квантов с мягкими фотонами фонового излучения

© А.Н. Попов, Д.П. Барсуков, А.В. Иванчик, С.В. Бобашев

Физико-технический институт им. А.Ф. Иоффе РАН, 194021 Санкт-Петербург, Россия e-mail: bars.astro@mail.ioffe.ru

Поступило в Редакцию 27 апреля 2024 г. В окончательной редакции 30 июля 2024 г. Принято к публикации 30 октября 2024 г.

Рассмотрено взаимодействие гамма-квантов внегалактического фонового излучения с мягкими фотонам внегалактического фонового излучения с образованием электрон-позитронных пар. Показано, что в этом случае большинство позитронов рождаются с энергией  $10\,\mathrm{GeV} - 1\,\mathrm{TeV}$ , однако взаимодействие "рентгеновских" фоновых фотонов может приводить к рождению позитронов с энергиями  $10-100\,\mathrm{keV}$ .

Ключевые слова: космология, фоновое излучения, позитроны.

DOI: 10.61011/JTF.2024.12.59257.386-24

### Введение

Пространство между галактиками и скоплениями галактик заполнено фоновым электромагнитным излучением различного происхождения [1]. Во-первых, это реликтовое излучение (СМВ), возникшее на красном смещении  $z \sim 1000$  в эпоху рекомбинации, во-вторых, это внегалактическое оптическое и инфракрасное фоновое излучение (ЕВL), несущее информацию о звездах и темпе их формирования [1-3]. Рентгеновское фоновое излучение (СХВ) несет в себе информацию об процессах аккреции вещества на галактические ядра и соответственно о темпе формирования сверхмассивных черных дыр в центрах галактик [1,4]. Возможно, также имеется фоновое ультрафиолетовое излучение (CUB), которое порождается молодыми горячими звездами и излучением межзвездных туманностей [1]. Фоновое гаммаизлучение (CGB) в основном состоит из излучения активных галактических ядер и, возможно, из фотонов, рожденных во время вспышек сверхновых [1,5]. Мягкое фоновое излучение, включая мягкие CGBфотоны, взаимодействует со средой внутри скоплений галактик, что приводит к появлению искажений в его спектре [6]. Помимо этого фотоны могут сталкиваться и взаимодействовать друг с другом [7]. В частности, возможен процесс Брейта-Уилера рождения электронпозитронной пары при взаимодействии двух фоновых фотонов [8]. Это приводит к появлению в межгалактическом и, возможно, в междукластерном пространстве непрерывно действующего источника позитронов, более-менее равномерно распределенного по всей Вселенной.

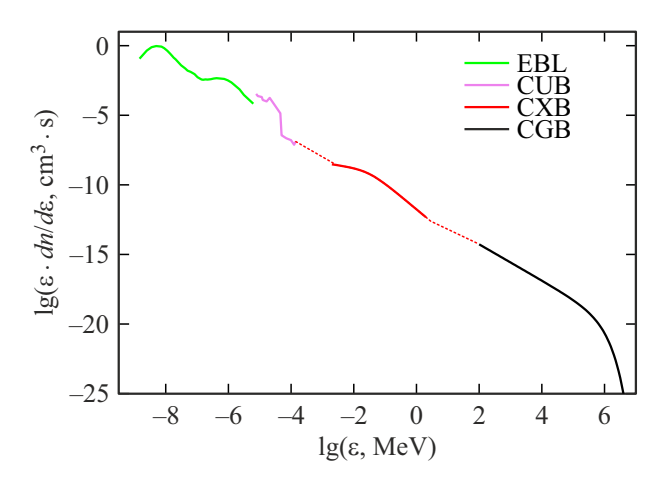
## 1. Модель

В настоящей работе рассматривается взаимодействие двух фотонов с энергией  $\varepsilon$  и  $\varepsilon_{\gamma}$  соответственно с

образованием электрон-позитронной пары. Данный процесс является пороговым и возможен только при условии  $\varepsilon \varepsilon_{\nu} \geq m^2 c^4$ , где m — масса электрона [7]. Темп образования позитронов в таком процессе в настоящей работе вычисляется также как и в работе [9]. Рассматривается только взаимодействие CGB-фотонов с EXL-, СИВ- и СХВ-фотонами. Спектр СGВ-фотонов вычислялся также, как и в работе [9], с использованием модели, предложенной в [5]. При этом учитывалось только поглощение ССВ-фотонов при взаимодействии с EBL-фотонами. Спектр рождающихся CGBфотонов считался степенным  $dq_{\gamma}/d\varepsilon = N_0 \cdot \varepsilon^{-\gamma}$  при  $arepsilon < arepsilon_{
m max}$  и  $dq_{\gamma}/darepsilon = 0$  при  $arepsilon \geq arepsilon_{
m max}$ , где  $dq_{\gamma}/darepsilon$  число СGB-фотонов с энергией  $\varepsilon$ , рождающихся за 1 в 1 cm<sup>3</sup> в единичном интервале энергий в сопутствующей системе отсчета [5]. В качестве примера был взят случай  $\gamma=2.3$  и  $arepsilon_{max}=3\,\mathrm{TeV}$  [5]. Темп генерации CGB-фотонов считался пропорциональным среднему темпу звездообразования S(z) [5] и нормировка  $N_0$  темпа генерации CGB-фотонов вычислялась так, чтобы при  $\varepsilon_{\gamma}=20\,\mathrm{GeV}$  получающейся поток фотонов при z = 0, где z — красное смещение, совпал с наблюдаемым значением, взятым из [5]. Средний темп звездообразования считался равным [10]:

$$S(z) = \frac{C}{10^{A(z-z_0)} + 10^{B(z-z_0)}},$$
 (1)

где  $z_0=1.243$ , A=-0.997, B=0.248 и  $C=0.180\,M_\odot$  year $^{-1}\,\mathrm{Mpc}^{-3}$  [10]. Профили спектров СХВ-, СИВ- и ЕВL-фотонов, как и в [9], считались не зависящими от красного смещения z. Спектр ЕВL-фотонов взят из [3], спектр СХВ-фотонов взят из [4], в качестве спектра СИВ-фотонов взят верхний предел на него из [1]. Используемые спектры при z=0, а также спектр СGВ-фотонов, взятый из [5], показаны на рис. 1. Штриховой линией показана экстраполяция спектра СХВ-фотонов степенным спектром вплоть до

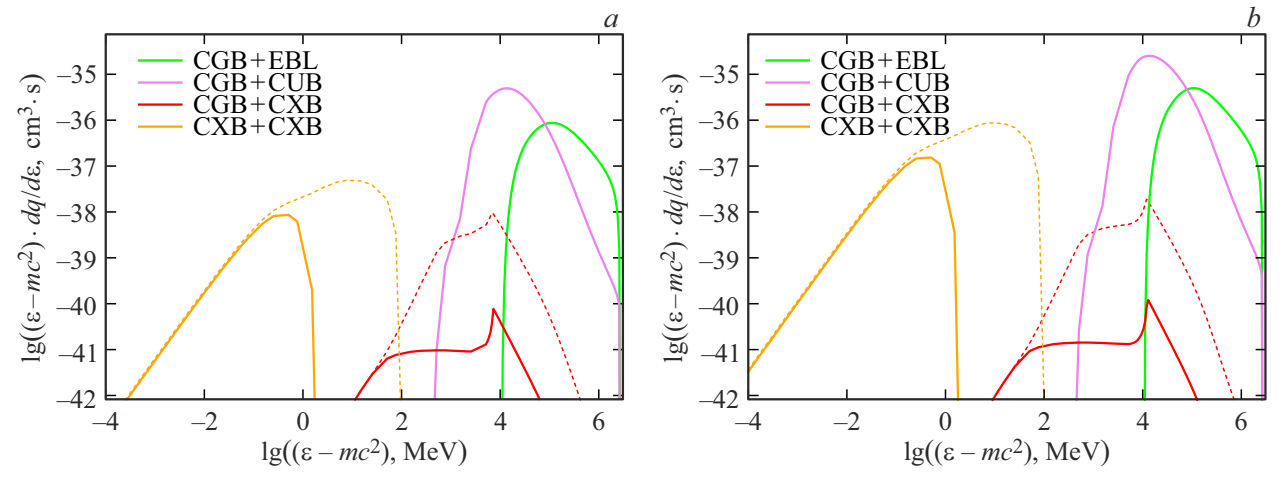


**Рис. 1.** Используемые спектры СХВ-, СИВ- и ЕВL-фотонов, а также спектр СGВ-фотонов из [5], на красном смещении z=0. Штрихованные кривые соответствуют случаю продленного СХВ-спектра.

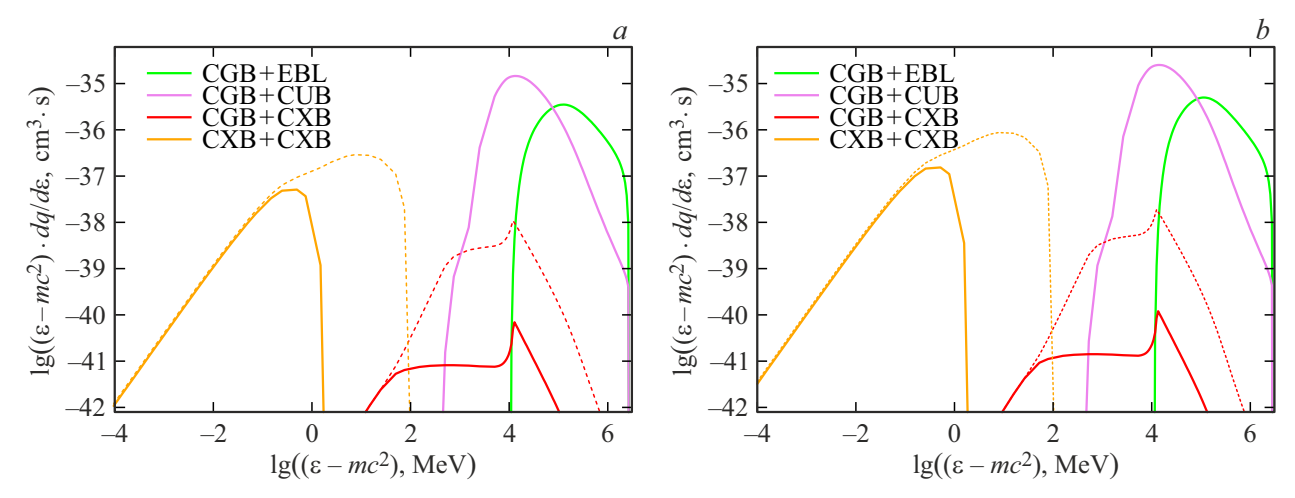
границ спектров СUB- и СGB-фотонов. В настоящей работе концентрацию СХВ-, СUB- и ЕВL-фотонов мы считаем зависящей от красного смещения z. При этом мы ограничиваемся только двумя предельными случаями. В первом варианте концентрация СХВ-, СUB- и ЕВL-фоновых фотонов считалась пропорциональной  $(1+z)^3$ , что соответствует сохранению числа фоновых фотонов по мере расширения Вселенной. Во втором варианте она считалась равной среднему темпу звездообразования (1), что соответствует мгновенной подстройке числа фоновых фотонов к темпу их генерации молодыми звездами. В обоих случаях спектр этих фотонов нормировался так, чтобы совпадать с наблюдаемой концентрацией фотонов при z=0.

#### 2. Результаты

На рис. 2 и 3 показан спектр рождающихся позитронов при взаимодействии CGB-фотонов с CXB-, СUВ- и EBL-фотонами. Фрагменты (a) соответствуют случаю, когда концентрация EBL-, CUB- и CXB-фотонов возрастает как  $(1+z)^3$ , а фрагменты (b) — когда она пропорциональна темпу звездообразования (1). Видно, что при z = 0.5 оба варианта почти не отличаются, а при z = 1.5 различия не очень велики. Видно, что почти все позитроны рождаются с энергиями  $\varepsilon \sim 10\,\text{GeV} - 1\,\text{TeV}$ . Такие позитроны практически не аннигилируют [11] и постепенно накапливаются в межгалактическом пространстве. При этом видно, что несмотря на то, что мы предполагали, что гипотетических CUB-фотонов несколько меньше чем ЕВL-фотонов (рис. 1), их вклад в темп рождения позитронов больше, чем вклад EBLфотонов, поскольку они могут взаимодействовать с более мягкими и значит более многочисленными CGBфотонам. Пик в профиле спектра позитронов, рождающихся при взаимодействии СХВ- и СGВ-фотонов, является артефактом вычислений. Он связан с тем, что в соответствии с предложенной в [5] моделью мы искусственно обрезаем снизу спектр источников CGBфотонов на энергии  $\varepsilon_{\min} = 5 \, \text{GeV}$ , см. [9]. При этом положение и профиль пика существенно зависит от величины  $\varepsilon_{\min}$ . Однако этот пик практически не дает вклада в суммарный спектр позитронов, поскольку при этих энергиях доминирует рождение позитронов при взаимодействии CGB-фотонов с CUB- и EBL-фотонами. Резкий обвал спектров на энергии  $\varepsilon \approx 3\,\mathrm{TeV}$  связан с выбранным нами значением максимальной энергии рождающихся СGВ-фотонов  $\varepsilon_{\text{max}} = 3 \,\text{TeV}$ . Также на рис. 2 и 3 показан спектр рождающихся позитронов при взаимодействии СХВ-фотонов друг с другом. Пунктирной линией пока-



**Рис. 2.** Спектр рождающихся позитронов на красном смещении z=0.5. Здесь  $\varepsilon$  — энергия рождающихся позитронов, измеряемая в MeV,  $dq/d\varepsilon$  — темп рождения позитронов, т.е. число позитронов с энергией  $\varepsilon$ , рождающихся за 1 s в 1 cm³ в единичном интервале энергий в сопутствующей системе отсчета,  $mc^2$  — энергия покоя электрона. a — случай, когда концентрация EBL-, CUB- и CXB-фотонов просто возрастает как  $(1+z)^3$ , а b — случай, когда она пропорциональна среднему темпу звездообразования (1). Штрихованные кривые соответствуют случаю продленного CXB спектра.



**Рис. 3.** То же, что на рис. 2, но для красного смещения z = 1.5.

зан случай продленного спектра СХВ-фотонов. Данный процесс возможен потому, что формально к "рентгеновским" фоновым фотонам отнесены и фотоны с энергией  $\varepsilon \sim 2-3\,\mathrm{MeV}$  [4], а в случае продленного спектра в "рентгеновский" участок спектра формально попали и гамма-кванты с энергий в  $\varepsilon \sim 1{-}10\,\mathrm{GeV}$ . В этом случае позитроны могут в заметных количествах рождаться с энергиями  $\varepsilon \sim 1 - 100 \, \text{keV}$ , которые уже будут аннигилировать за характерное время  $\tau \sim (2-3) \cdot 10^9$  year [11,12]. Продление "рентгеновского" спектра СХВ-фотонов как в сторону меньших энергий, так и в сторону больших энергий практически не влияет на темп рождения позитронов на этих энергиях. Это связано с тем, что основной вклад в рождение позитронов дают "рентгеновские" СХВ-фотоны с энергиями порядка 1 MeV. При этом продление спектра СХВ-фотонов вплоть до начала CGB-спектра приводит к резкому увеличению рождения позитронов с энергиями 1-100 MeV. В настоящей работе мы не рассматривали взаимодействие CGB-фотонов с наиболее многочисленными СМВ-фотонами, поскольку в рамках используемой модели [5] энергия рождающихся CGB-фотонов ограничена значением  $\varepsilon_{\text{max}}=3\,\text{TeV}$  и ее не достаточно для рождения электрон-позитронной пары при взаимодействии с СМВ-фотонами.

#### Конфликт интересов

Авторы заявляют, что у них нет конфликта интересов

### Список литературы

- [1] R. Hill, K.W. Masui, D. Scott. Appl., Spectr., **72** (5), 663 (2018). DOI: 10.1177/0003702818767133
- [2] A. Cooray. Royal Society Open Science, **3**(3), 150555 (2016). DOI: 10.1098/rsos.150555
- [3] A. Franceschini, G. Rodighiero, M. Vaccari. A & A, 487 (3), 837 (2008). DOI: 10.1051/0004-6361:200809691
- [4] M. Ajello, J. Greiner, G. Sato, D.R. Willis, G. Kanbach et al, ApJ, 689 (2), 666 (2008). DOI: 10.1086/592595

- [5] M. Ackermann, M. Ajello, A. Albert, W.B. Atwood, L. Baldini et al. ApJ, 799 (1), id. 86 (2015).
   DOI: 10.1088/0004-637X/799/1/86
- [6] С.А. Гребенев, Р.А. Сюняев. ПАЖ, **45** (12), 835 (2019). [S.A. Grebenev, R.A. Sunyaev. Astronomy Lett., **45** (12), 791 (2020). DOI: 10.1134/S1063773719120016]
- [7] R.J. Gould, G.P. Schreder. Phys. Rev., 155 (5), 1404 (1967).DOI: 10.1103/PhysRev.155.1404
- [8] R.J. Gould, G.P. Schreder. Phys. Rev., 155 (5), 1408 (1967).DOI: 10.1103/PhysRev.155.1408
- [9] А.Н. Попов, Д.П. Барсуков, А.В. Иванчик, С.В. Бобашев. ЖТФ, (12), 1743 (2023). DOI: 10.61011/JTF.2023.12.56809.f208-23
- [10] P.S. Behroozi, R.H. Wechsler, C. Conroy. ApJ, 770 (1), id. 57 (2013). DOI: 10.1088/0004-637X/770/1/57
- [11] B.A. Nizamov, M.S. Pshirkov. ПАЖ, **49** (5), 322 (2023). [B.A. Nizamov, M.S. Pshirkov, Astronomy Lett., **49** (1), 9 (2023) DOI: 10.1134/S1063773723300011]
- [12] B.A. Nizamov, M.S. Pshirkov. eprint arXiv:2403.08427 (2024).DOI: 10.48550/arXiv.2403.08427